

Франц Герман

К вопросу о свёрнутых измерениях

franz.h-n@yandex.ru

Известны были пространства параллельные и перпендикулярные, пространства с прямым, обратным и ортогональным течением времени, вероятностные пространства с числом измерений большим и меньшим трёх, пространства, замкнутые на себя, и пространства, разомкнутые в реальную бесконечность, и прочие головоломные, представляемые только математически квази-, псевдо- и эзкосмосы, которые простому человеку, - какому-нибудь художнику или артисту, не приведи бог пригрезиться в час отдыха после плотного обеда.

(А. и Б. Стругацкие)

Вопрос о свёрнутых измерениях наверное уже так знаменит, что находится на слуху не только у профессионалов, но и вообще у всех тех, кто сегодня интересуется естествознанием на самом популярном уровне. Тем не менее, мы всё-таки немного напомним о чём пойдёт речь.

Физика элементарных частиц развивается сегодня в двух направлениях. Это стандартная модель (СМ) и теория суперструн (ТС).

Теория струн пошла по пути, когда-то созданной пятимерной теории Калуци. Идея была в том, что при помощи дополнительного измерения можно было описать и электромагнитное, и гравитационное взаимодействие, исходя из одного универсального пятимерного метрического тензора.

С другой стороны, физики, которые изучали строение адронов и пытались заглянуть к ним во внутрь, заподозрили, что элементарные частицы могут быть и не точечного вида, а нитевидного. А описывать такие конструкции очень удобно при помощи β – функции Эйлера.

В конце концов сложилась десятимерная теория струн (меньше никак не получалось). Одно измерение временное и девять пространственных. Однако повседневный опыт говорит нам, что мы живём в трёх пространственных измерениях и одномерном временном. А куда девать ещё шесть? И, так как, мы их не видим и не ущущаем (имеется в виду, конечно, ощущения посредством экспериментальной физики), значит они (измерения) свёрнуты в маленькие шарики. По расчётом такой шарик должен иметь диаметр примерно 10^{-32} сантиметра [3].

Другой замкнутой элементарной фигурой является тор. Тор более сложная фигура, чем сфера (для его построения требуется два параметра, а для сферы один). Но именно тор и понадобился физикам для сворачивания дополнительных измерений.

В математике уже давно известны пространства Калаби-Яу. И физики (Э. Виттен и др.) доказали, что именно эти пространства подходят для теории струн. По своей сути – эти пространства являются многомерными торами. И они как раз и нужны на роль свёрнутых пространств. В одномерном случае пространство Калаби-Яу представляет собой тор T^2 . А такой тор рассматривается как эллиптическая кривая. Эллиптическая же кривая представляет собой множество точек проективной плоскости, удовлетворяющих в общем случае уравнению в однородных координатах:

$$\sum_{i,j=1}^3 a_{ij} x_i^2 x_j = 0, \quad (1)$$

где $a_{ij} \neq a_{ji}$.

Рассмотрим частный случай, когда $a_{11} = a_{12} = a_{21} = a_{23} = a_{31} = 0$, $a_{13} = 1$, $a_{22} = -1$, $a_{32} = -a$, $a_{33} = -b$. Выражение (1) принимает в этом случае вид:

$$x_1^2 x_3 = x_2^3 + ax_2 x_3^2 + bx_3^3$$

Используя преобразования: $Y = \frac{x_1}{x_3}$, $X = \frac{x_2}{x_3}$ можно переписать последнее выражение в декартовых координатах (будем обозначать их заглавными буквами):

$$Y^2 = X^3 + aX + b \quad (2)$$

Уравнение (2) называется простейшим каноническим уравнением эллиптической кривой [1].

Нашей целью не является изучение этих кривых (заинтересованному читателю рекомендуем обратиться например к [1] и [2]). Приводя эти уравнения мы просто хотели показать, что пространства Калаби-Яу не так просты уже в одномерном случае. Трёхмерное пространство Калаби-Яу является как раз тором шести измерений T^6 . Пространства эти ещё малоизучены, причём их так много (десятки тысяч), что непонятно, как выбрать подходящее для физики.

Но оказалось, что теория струн не полна. А обобщающая M -теория или теория суперструн (Э. Виттен) функционирует уже в 11-мерном пространстве. Здесь сворачивать надо уже семь дополнительных измерений. Число 7 (11 - 4) - нечётное и пространства Калаби-Яу тут уже не годятся.

Но физики припомнили [3], что математики давненько уже изучают семисферу S^7 . Возможно эту фигуру и надо использовать для сворачивания дополнительных 7-ми измерений. Если представить, что наш мир описывается в координатах X_0 , X_1 , X_2 , X_3 , где X_0 - координата времени, то уравнение семисферы можно записать таким образом:

$$X_4^2 + X_5^2 + X_6^2 + X_7^2 + X_8^2 + X_9^2 + X_{10}^2 = R^2 \quad (3)$$

Уравнение (3) описывает идеальную симметричную сферу (Не путайте со сферой Милнора. У нас всё проще - на интуиции), а физикам такая не нужна. Для физики нужна не идеальная сфера, а некоторый сфероид [3]. Это можно представить уравнением:

$$\sum_{i=4}^{10} \xi_i X_i^2 = R^2,$$

где не все коэффициенты ξ_i равны 1. Опять же много неясностей, какие из коэффициентов не равны 1?

А может быть надо рассматривать семитор?

Известно, что тор характеризуется двумя геометрическими параметрами. Радиусом окружности r , которую надо вращать относительно неподвижной оси (условие построения тора) и расстоянием R , от центра этой окружности до данной оси. Рассмотрим простейший тор, когда $r = R$ и одна из координат X является осью

вращения. Тогда уравнение тора, знакомое нам из аналитической геометрии [4], будет иметь вид.

$$(X_1^2 + X_2^2 + X_3^2)^2 - 4R^2(X_1^2 + X_2^2) = 0, \quad (4)$$

здесь осью вращения тора является X_3 . Исходя из общности уравнения (4) осью вращения могут быть и две другие оси. Глядя на данное уравнение можно предположить, как выглядит уравнение семитора в дополнительных координатах:

$$(X_4^2 + X_5^2 + X_6^2 + X_7^2 + X_8^2 + X_9^2 + X_{10}^2)^2 - 4R^2(X_4^2 + X_5^2 + X_6^2 + X_7^2 + X_8^2 + X_9^2) = 0$$

Учитывая, что осью вращения такого семитора может быть любая из дополнительных осей, общее число вариантов для свёртки многократно возрастает.

Пока физики не дают никаких рецептов по поводу компактификаций (свёрнутых измерений) дополнительных 7-ми размерностей. Более того, существуют и теории, построенные на 26-ти измерениях (22 из которых дополнительные) [5], [12]. Эта книга [5] не популярная, но довольно доступная для среднего математика. Сегодня даже самая простейшая теория суперструн должна включать в себя общую теорию относительности, а это возможно только в 26-мерном пространстве [13]. Но рецептов, как сворачивать дополнительные 22 измерения, не видно.

Это всё ещё только один вопрос – **как?** Имеется в виду, как сворачивать. Но есть и второй и не менее важный – **где?** Имеется в виду, где сворачивать. Физики [3], [6] просто говорят: в каждой точке пространства. Т. е. что же – наше пространство-время квантовано? В основе всего лежит пространственная решётка, в «... каждой точке» которой находится свёрнутый шарик или бублик, или ещё что-нибудь пространственно замкнутое? Конечно есть идеи [7], [8], которые в основу всего кладут пространственные решётки, но они сегодня не популярны. Так как же быть?

Именно поэтому, пытаясь ответить на вопросы: «**как?** и **где?**», мы и решили высказать своё предположение на страницах этой заметки. Скорее всего нашу заметку можно будет назвать математическим эссе. Так как никакими строгими математическими и уж тем более физическими доказательствами мы не располагаем.

В основу нашей модели будут положены несколько аксиом.

Аксиома 1.

Свёрнутые измерения могут быть представлены суммой свёрнутых измерений меньшего порядка (меньшей размерности).

Записывать это будем так:

$$\langle n \rangle = \langle k \rangle + \langle m \rangle = \langle m \rangle + \langle k \rangle = \langle k, m \rangle = \langle m, k \rangle, \text{ где } n = k + m.$$

Подчеркнём, что принцип коммутативности присущ нашим представлениям, например $\langle 1,1,2 \rangle = \langle 2,1,1 \rangle = \langle 1,2,1 \rangle$.

Как вы уже наверное догадались – в скобках указывается число свёрнутых измерений. Возникает вопрос: определить все геометрические элементарные объекты, которые могут претендовать на роль свёрнутых размерностей.

Очевидно, что первой такой элементарной фигурой может быть конечно окружность, которую обозначим через C . Всего же существует **шесть** простейших замкнутых многообразий (обратите на это внимание: **шесть**). Окружность мы уже

определенли. Далее – это классические сфера S и тор T . И наконец – это проективная прямая M , бутылка Клейна K и проективная плоскость P . Все эти объекты замкнуты. Чтобы не сбивать читателя мы отказались от использования здесь классических обозначений, т. к. в дальнейшем будем использовать эти объекты не руководствуясь их геометрической сутью, как в большинстве математической литературы, а – только их связью с размерностью.

Понятие размерности до сих пор точно не определено и его нельзя использовать на примитивно интуитивном уровне. Приведу пример [9]. Казалось бы отрезок прямой и квадрат являются разномощными объектами (у них разное число точек) и мощность может выступать как определение размерности. Но Кантор доказал, что эти объекты как раз равномощны. А значит и размерность это нечто более тонкое. Разговор о тонкостях наших элементарных замкнутых многообразий мы оставим на потом, а сейчас просто покажем с каким числом свёрнутых измерений мы их сопоставляем. Итак, перечислим ещё раз элементарные замкнутые геометрические объекты. Окружность - $C\langle 1 \rangle$, сфера $S\langle 2 \rangle$, тор - $T\langle 2 \rangle$, проективная прямая - $M\langle 1 \rangle$, бутылка Клейна - $K\langle 2 \rangle$, проективная плоскость - $P\langle 3 \rangle$. В скобках указывается число свёрнутых измерений. Тогда в силу Аксиомы 1, можем записать например: $P\langle 3 \rangle \equiv \langle 3 \rangle = M\langle 1,1,1 \rangle = S\langle 2 \rangle + M\langle 1 \rangle = \langle 2,1 \rangle$. Разговор о том почему тот или иной объект связан именно с таким числом свёрнутых измерений тоже оставим на потом.

Итак, пришла пора сформулировать вторую аксиому нашей модели.

Аксиома 2

Элементарные свёрнутые измерения – суть кварки нашего Мироздания.

На сегодняшний день известно 6 кварков и 6 простейших замкнутых многообразий. Собственно на этом совпадении шести кварков и шести простейших замкнутых многообразий и построена наша гипотетическая модель.

Если вдуматься, то Аксиома 2 сразу отвечает на второй вопрос, поставленный в начале нашего эссе. Т. е. вся материя, как вещество, состоит из кварков (адроны: барионы и мезоны). А кварки – это свёрнутые измерения.

Прежде чем определить, какому кварку соответствует какая компактификация, определим, сколько вариантов Мирозданий можно представить в рамках наших аксиом.

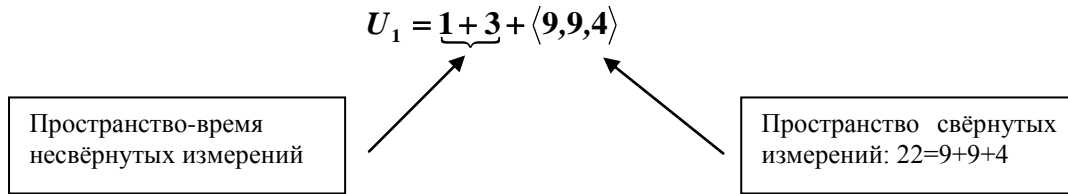
Что нам известно. Число измерений – 26 и 22 из них свёрнуты.

$$26 = 1 + 3 + \langle 22 \rangle = 1 + 3 + \langle n_1, n_2, \dots, n_k \rangle \quad (5)$$

Чему равно $n_i \langle \max \rangle$?

Всякая компактификация в нашей модели должна представлять собой какую-нибудь элементарную частицу, состоящую из кварков. Предположим, что $n \langle \max \rangle = n \langle 10 \rangle$. Каким минимальным представлением из элементарных компактификаций можно это представить? Очевидно только так: $n \langle 10 \rangle = \langle 1,3,3,3 \rangle$. Известно [9] однако, что элементарные частицы могут состоять либо из 2-х, либо из 3-х кварков, но не из 4-х. (а у нас: $\langle 1,3,3,3 \rangle$) Следовательно, компактификация $n \langle 10 \rangle$ не подходит. Таким образом $n \langle \max \rangle = n \langle 9 \rangle$. Понятно, что $n \langle \min \rangle = n \langle 4 \rangle$, т. к. $n \langle 3 \rangle$ – это уже элементарная компактификация, а по нашей модели – кварк.

Т. о. первая формула Мироздания может иметь такой вид:



Для краткости будем просто обозначать: $U_1 = \langle 9,9,4 \rangle$.

Всего можно построить 15 таких представлений. Покажем их все:

$$U_1 = \langle 9,9,4 \rangle$$

$$U_2 = \langle 9,8,5 \rangle$$

$$U_3 = \langle 9,7,6 \rangle$$

$$U_4 = \langle 8,8,6 \rangle$$

$$U_5 = \langle 8,7,7 \rangle$$

$$U_6 = \langle 9,5,4,4 \rangle$$

$$U_7 = \langle 8,6,4,4 \rangle$$

$$U_8 = \langle 8,5,5,4 \rangle$$

$$U_9 = \langle 7,7,4,4 \rangle$$

$$U_{10} = \langle 7,6,5,4 \rangle$$

$$U_{11} = \langle 7,5,5,5 \rangle$$

$$U_{12} = \langle 6,6,6,4 \rangle$$

$$U_{13} = \langle 6,6,5,5 \rangle$$

$$U_{14} = \langle 6,4,4,4,4 \rangle$$

$$U_{15} = \langle 5,5,4,4,4 \rangle$$

Мы не будем исследовать все комбинации U_i (все Мироздания, если хотите), а рассмотрим ту (может быть есть и другие?), в которой могут существовать все, известные на сегодняшний день элементарные частицы и, которая позволила определить, какому кварку соответствует какая элементарная компактификация.

Представим комбинацию U_{10} в развёрнутом в элементарные компактификации виде: $U_{10} = \langle 7,6,5,4 \rangle = \langle 7 \rangle + \langle 6 \rangle + \langle 5 \rangle + \langle 4 \rangle$. Можно развернуть ещё более подробно:

$$U_{10} = \begin{cases} \langle 7 \rangle = \langle 1,3,3 \rangle = \langle 2,2,3 \rangle \\ \langle 6 \rangle = \langle 1,2,3 \rangle = \langle 2,2,2 \rangle = \langle 3,3 \rangle \\ \langle 5 \rangle = \langle 1,1,3 \rangle = \langle 1,2,2 \rangle = \langle 2,3 \rangle \\ \langle 4 \rangle = \langle 1,1,2 \rangle = \langle 1,3 \rangle = \langle 2,2 \rangle \end{cases}, \quad (6)$$

кроме того элементарные компактификации могут быть представлены: $\langle 2 \rangle = \langle 1,1 \rangle$, $\langle 3 \rangle = \langle 1,1,1 \rangle = \langle 1,2 \rangle$.

Прежде чем определить искомое соответствие夸ков и элементарных компактификаций поговорим об антикварках. Чем могут отличаться, например,夸克 $C\langle 1 \rangle$ и антикварк $\bar{C}\langle 1 \rangle$. В нашей модели данный夸к – это окружность. Две конгруэнтные окружности могут отличаться направлением обхода.



Рис. 1

Компактификациями сферы и тора $S\langle 2 \rangle$ и $T\langle 2 \rangle$ являются двусторонние поверхности. Поэтому можем предположить, что антикварки этих поверхностей такие же фигуры только вывернутые наизнанку.

Как известно, лист Мёбиуса может быть двух видов: левозакрученный и правозакрученный. Причём никакими ухищрениями невозможно левозакрученный лист Мёбиуса перевести в правозакрученный и наоборот. А моделью проективной прямой является как раз осевая линия листа Мёбиуса. Поэтому можем для кварка принять обозначение $M_+ \langle 1 \rangle$, а для антикварка - $\overline{M_-} \langle 1 \rangle$ в зависимости от того, как был закручен исходный лист Мёбиуса.

С топологической точки зрения бутылка Клейна является склейкой двух разнозакрученных листа Мёбиуса ([14], стр. 306).

$$K^2 = M_+^2 \cup M_-^2$$

В физике элементарных частиц большое значение имеет понятие коммутативности. Вернее – её отсутствия. И мы можем считать, что $K^2 = M_+^2 \cup M_-^2$ и $\overline{K}^2 = M_-^2 \cup M_+^2$ – это разные фигуры. А соответствующие им модели компактификаций являются кварком и антикварком $K_+ \langle 2 \rangle$ и $\overline{K_-} \langle 2 \rangle$.

Чем могут отличаться кварк и антикварк, модели которых представлены проективной плоскостью.

Одна из моделей проективной плоскости описывается топологической формулой:

$$RP^2 = (S^2 / D^2) \cup M^2,$$

в которую входит лист Мёбиуса, и следовательно мы можем эту формулу переписать двумя различными способами.

$$RP^2 = (S^2 / D^2) \cup M_+^2 \text{ и } RP^2 = (S^2 / D^2) \cup M_-^2.$$

В соответствии с этими формулами, будем различать и кварки $P_+ \langle 3 \rangle$ и $\overline{P_-} \langle 3 \rangle$.

В *Приложении* мы найдём таблицы элементарных частиц и их кварковый состав. Опираясь на эти таблицы будем строить соответствие между кварками, антикварками и элементарными компактификациями. Начнём с протона и нейтрона. Их кварковый состав имеет вид: $p = uud$, $n = ddu$.

Рассмотрим совокупность комбинаций (6). Здесь мы действительно находим компактификации $\langle 2,2,1 \rangle$ и $\langle 1,1,2 \rangle$. Можно предположить такие соответствия: $C \langle 1 \rangle \equiv d$, $S \langle 2 \rangle \equiv u$. Тогда $\overline{C} \langle 1 \rangle \equiv \overline{d}$ и $\overline{S} \langle 2 \rangle \equiv \overline{u}$.

Снова обратимся к *Приложению* и рассмотрим барион $\Lambda = uds$. Кварки d и u уже определены. Ничто не мешает нам определить кварк s как $s \equiv T \langle 2 \rangle$. А соответствующая компактификация имеется - $\langle 2,1,2 \rangle$. И т. д.

В самом конце таблицы барионов появляется кварк c . Присвоим ему соответствующее представление: $c \equiv M \langle 1 \rangle$.

Кварк b появляется в таблице мезонов. Ему будет соответствовать очередная компактификация: $b \equiv K \langle 2 \rangle$.

Кварк t не участвует в образовании ни барионов, ни мезонов. У нас осталась последняя элементарная компактификация. Поэтому $t \equiv P \langle 3 \rangle$.

На основе таблиц *Приложения*, каждый заинтересованный сможет определить, как выглядят элементарные частицы в образах наших компактификаций.

Предложенное соответствие является не единственным. Но в данном Универсуме U_{10} существуют запреты. Никакой из夸арков u , d и s не может соответствовать компактификации $P\langle 3 \rangle$. В этом случае необходимы были бы компактификации $\langle 8 \rangle = \langle 2,3,3 \rangle$ и $\langle 9 \rangle = \langle 3,3,3 \rangle$, но они отсутствуют в U_{10} .

Не исключено, что ещё какие-то U_i кроме U_{10} могут претендовать на роль нашего Мирозания в рамках нашего моделирования, но нам кажется – это маловероятно, т. к. компактификации $\langle 4 \rangle$, $\langle 5 \rangle$ и $\langle 6 \rangle$ одновременно присутствуют только в U_{10} .

Таким образом, мы ответили и на вопрос: **как?**

Теперь скажем несколько слов о наших элементарных компактификациях.

Мы руководствовались числом измерений, свёрнутых на наших фигурах, равным числу параметров, при помощи которых задаются аналитические уравнения этих фигур. Описание трёхпараметрического уравнения проективной плоскости можно найти, например, в [10].

Модель проективной прямой, как осевой линии листа Мёбиуса, может быть задана двумя способами. С точки зрения дифференциальной геометрии – это окружность, лежащая в плоскости $Z = 0$. С точки зрения классической аналитической геометрии – это линия, не принадлежащая одной плоскости [11]. Длина такой линии L вычисляется по формуле:

$$L = R(\cos(\alpha) + 2\sin(\alpha)),$$

где $\alpha = \frac{\pi}{2} \sqrt{2 - \sqrt{3}}$, R – условный радиус листа Мёбиуса.

Почему вообще были привлечены к моделированию некоторые элементы проективной геометрии? Во-первых, проективная геометрия по большому счёту является основой всех прочих геометрий. В том числе и евклидовой. Во вторых, – некоторые образы проективной геометрии «присутствуют» и в нашей жизни.

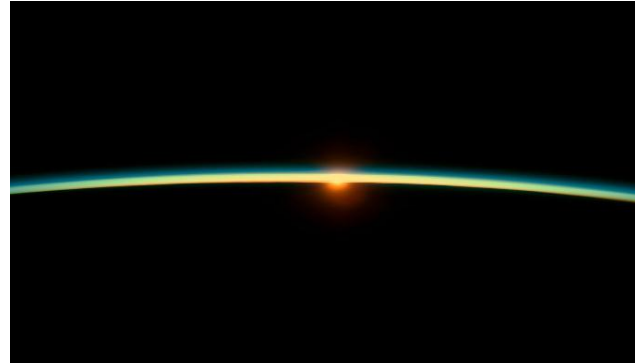


Рис. 2

На Рис.2 мы видим бесконечно удалённую точку проективной плоскости в виде точки пересечения железнодорожных рельс. А линия горизонта – это образ бесконечно удалённой прямой.

Некоторые модели наших компактификаций можно представить и наглядно. Например, модель нейтрона $n = ddu \equiv C\langle 1 \rangle C\langle 1 \rangle S\langle 2 \rangle$ и протона $p = uud \equiv S\langle 2 \rangle S\langle 2 \rangle C\langle 1 \rangle$ могут выглядеть так (Рис.3):

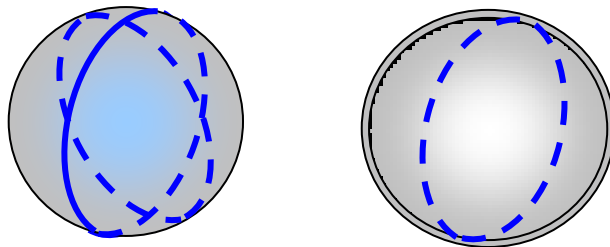


Рис. 3

А модель мезона $D^0 = c\bar{u} \equiv M\langle 1 \rangle \bar{S}\langle 2 \rangle$ можно показать следующим образом (Рис. 4).

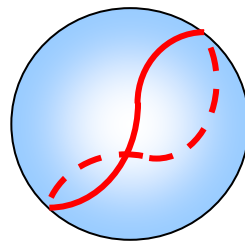


Рис. 4

Надо отметить, что в нашем моделировании мы не использовали свойство кварков: принимать различное цветовое состояние.

Приложение**Барионы ($B = 1, L = 0$)**

Частица	Кварковый состав	Масса, mc^2 (МэВ)	Время жизни (сек) или ширина (МэВ)	Спин-четность, изоспин $J^P(I)$	Основные моды распада
p	uud	938.27	>1031 лет	$1/2^+(1/2)$	
n	ddu	939.57	887 ± 2	$1/2^+(1/2)$	$p\epsilon\bar{\nu}$
Λ	uds	1116	$2.6 \cdot 10^{-10}$	$1/2^+(0)$	$p\pi^-$, $n\pi^0$
Σ^+	uus	1189	$0.80 \cdot 10^{-10}$	$1/2^+(1)$	$p\pi^0$, $n\pi^+$
Σ^0	uds	1193	$7.4 \cdot 10^{-20}$	$1/2^+(1)$	$\Lambda\gamma$
Σ^-	dds	1197	$1.5 \cdot 10^{-10}$	$1/2^+(1)$	$n\pi^-$
Ξ^0	uss	1315	$2.9 \cdot 10^{-10}$	$1/2^+(1/2)$	$\Lambda\pi^0$
Ξ^-	dss	1321	$1.6 \cdot 10^{-10}$	$1/2^+(1/2)$	$\Lambda\pi^-$
Ω^-	sss	1672	$0.82 \cdot 10^{-10}$	$3/2^+(0)$	ΛK^- , $\Xi^0\pi^-$
Δ^{++} Δ^+ Δ^0 Δ^-	uuu uud udd ddd }	1230-1234	115-125	$3/2^+(3/2)$	(n или p) + π
$\Sigma^+(1385)$	uus	1383	36	$3/2^+(1)$	$\Lambda\pi$, $\Sigma\pi$
$\Sigma^0(1385)$	uds	1384	36		
$\Sigma^-(1385)$	dds	1387	39		
$\Xi^0(1530)$	uss	1532	9.1	$3/2^+(1/2)$	$\Xi\pi$
$\Xi^-(1530)$	dss	1535	9.1		
N(1440)	$N^+ uud$ $N^0 udd$ }	1430-1470	250-450	$1/2^+(1/2)$	$n(p)+\pi(2\pi), \Delta\pi$
N(1520)	$N^+ uud$ $N^0 udd$ }	1515-1530	110-135	$3/2^-(1/2)$	$n(p)+\pi(2\pi), \Delta\pi$

Λ_c^+	udc	2285	$2.0 \cdot 10^{-13}$	$1/2^+(0)$	(n или p) + другие
Σ_c^{++}	uuc	2453	2.2	$1/2^+(1)$	$\Lambda_c^+ \pi$
Σ_c^+	udc	2454	<4.6		
Σ_c^0	ddc	2452	2.2		

Мезоны (B=0, L=0)

Частица	Кварковый состав	Масса, $M c^2$ (МэВ)	Время жизни (сек) или ширина	Спин-четность, изоспин $J^P(I)$	Основные моды распада
π^+, π^-	u \bar{d} , d \bar{u}	139.57	$2.6 \cdot 10^{-8}$	$0^-(1)$	$\nu\mu^+, \bar{\nu}\mu^-$
π^0	u \bar{u} -d \bar{d}	134.98	$8.4 \cdot 10^{-17}$	$0^-(1)$	2γ
K^+, K^-	u \bar{s} , s \bar{u}	494	$1.2 \cdot 10^{-8}$	$0^-(1/2)$	$\nu\mu^+, \bar{\nu}\mu^-, \pi^0\pi^\pm$
K^0, \bar{K}^0	d \bar{s} , s \bar{d}	498	$\begin{cases} 0.89 \cdot 10^{-10} & K_S^0 \\ 5.2 \cdot 10^{-8} & K_L^0 \end{cases}$	$0^-(1/2)$ $0^-(1/2)$	$\pi^+\pi^-, \pi^0\pi^0$
					$\pi\nu\nu, \pi\mu\nu, 3\pi^0, \pi^0\pi^+\pi^-$
η	u \bar{u} +d \bar{d} , s \bar{s}	547	1.2 кэВ	$0^-(0)$	$2\gamma, 3\pi^0, \pi^0\pi^+\pi^-$
η'	u \bar{u} +d \bar{d} , s \bar{s}	958	0.20 МэВ	$0^-(0)$	$\eta\pi^+\pi^-, \rho^0\gamma, \pi^0\pi^0\eta$
ρ^\pm ρ^0	u $\bar{d}, d\bar{u}$ u $\bar{u} - d\bar{d}$	770	151 МэВ	$1^-(1)$	$\pi\pi$
ω	u \bar{u} +d \bar{d}	782	8.4 МэВ	$1^-(0)$	$\pi^+\pi^-\pi^0$
φ	s \bar{s}	1020	4.4 МэВ	$1^-(0)$	$K^+K^-, \pi^+\pi^-\pi^0$
D^\pm	c \bar{d} , d \bar{c}	1869	$1.1 \cdot 10^{-12}$	$0^-(1/2)$	K + другие частицы, e + другие, μ + другие
D^0, \bar{D}^0	c \bar{u} , u \bar{c}	1865	$4.2 \cdot 10^{-13}$	$0^-(1/2)$	
D_S^\pm	c \bar{s} , s \bar{c}	1969	$4.7 \cdot 10^{-13}$	$0^-(0)$	K + другие
B^\pm B^0, \bar{B}^0	u $\bar{b}, b\bar{u}$ d $\bar{b}, b\bar{d}$	5279	$1.6 \cdot 10^{-12}$	$\begin{cases} 0^-(1/2) \\ 0^-(1/2) \end{cases}$	$D^0 + \text{др}, D^* + \text{др}$
					$\nu + \text{др}, D^+ + \text{др}, D^* + \text{др}$
J/ψ	c \bar{c}	3097	87 кэВ	$1^-(0)$	адроны, $e^+e^-, \mu^+\mu^-$
Y	b \bar{b}	9460	53 кэВ	$1^-(0)$	$\tau^+\tau^-, e^+e^-, \mu^+\mu^-$

Литература:

- 1 М. Рид, «Алгебраическая геометрия для всех», М., «Мир», 1991
- 2 Г. Клеменс, «Мозаика теории комплексных кривых», М., «Мир», 1984
- 3 П. Девис, «Суперсила», М., «Мир», 1989
- 4 П. С. Александров, «Лекции по аналитической геометрии», М., «НАУКА», 1968
- 5 Б. Цвибах, «Начальный курс теории струн», М., «Удиториал УРСС», 2011
- 6 Ю. С. Владимиров, «Пространство-время: явные и скрытые размерности», М., «НАУКА», 1989
- 7 Ё. Намбу, «Кварки», М., «Мир», 1984
- 8 Ф. Герман, «Математика в науке и вокруг нас», «LAP LAMBERT Academic Publishing», 2016
9. Г. Е. Горелик, «Почему пространство трёхмерно?», М., «НАУКА», 1982.
- 10 Д. Гильберт, С. Кон-фоссен, «Наглядная геометрия», М., «НАУКА», 1981
- 11 Ф. Герман, « \mathbf{RP}^2 - Проективная плоскость», «LAP LAMBERT Academic Publishing», 2015
12. А. Г. Сергеев, «Кэлерова геометрия пространств петель», М., «МЦНМО», 2001
13. «Эйнштейновский сборник. 1986-1990», М., «Наука», 1990
14. Ст. Барр, «Россыпи головоломок», М. «Мир», 1987